

УДК 539.374

**ОПРЕДЕЛЕНИЕ МАКСИМАЛЬНО ДОПУСТИМОЙ ВЫСОТЫ
БОРТА КАРЬЕРА ПО СХЕМЕ ЖЕСТКОПЛАСТИЧЕСКОГО ТЕЛА**

Г. М. Подыминогин, А. И. Чанышев

*Институт горного дела им. Н. А. Чинакала СО РАН,
E-mail: a.i.chanyshev@gmail.com,
Красный проспект, 54, 630091, г. Новосибирск, Россия*

Предлагается математическая модель определения устойчивости борта карьера протяженной открытой выработки. Учитываются дилатансия, угол внутреннего трения. На основе схемы жесткопластического тела устанавливается максимально допустимая с точки зрения безопасности ведения горных работ высота карьера. Приводятся ее зависимости от угла наклона борта карьера и от свойств среды.

Максимально допустимая высота, пластичность, устойчивость, наклон борта карьера, угол внутреннего трения, сцепление

Известны различные подходы к определению устойчивости бортов карьеров открытых горных работ. Одни подходы предполагают разбиение сдвигаемой горной массы на элементы, состоящие из вертикально расположенных столбиков, при этом рассматриваются веса этих элементов, нормальная и касательная реакции массива пород на поверхностях возможного скольжения, сопоставляются сдвигающие и удерживающие силы [1–3]. Другие подходы основываются на теориях предельного равновесия в предположении, что есть горизонтальная площадка, на которой задается давление, и дальнейшее рассмотрение связано с применением результатов решения задачи о вдавливании штампа в жесткопластическую среду [4–8]. Есть еще подходы, в которых основными являются полномасштабные вычисления напряжений, деформаций и смещений методом конечных элементов, например [9–11].

Говоря об устойчивости бортов карьеров, необходимо отметить, что кроме вопроса о том, как происходит потеря устойчивости, не менее интересен вопрос, до какой глубины можно без ущерба для безопасности ведения работ извлекать полезные ископаемые. Наиболее простой является формула $H = \sigma_s / \gamma$, где σ_s — предел упругости среды на сжатие (эту формулу можно рассматривать как один из возможных вариантов определения глубины карьера).

Цель данной работы — определение максимально допустимой глубины карьера на основе теории предельного равновесия горных пород с учетом строения карьера и таких свойств горных пород, как угол внутреннего трения и сцепление.

ВЫБОР ОПРЕДЕЛЯЮЩИХ СООТНОШЕНИЙ

Известно, что горные породы проявляют при деформировании разнсопротивляемость при растяжении и сжатии и, кроме того, эффект дилатансии. Как учесть эти факторы в математической модели? Рассмотрим случай плоской деформации:

$$T_\sigma = \begin{pmatrix} \sigma_x & \tau_{xy} \\ \tau_{xy} & \sigma_y \end{pmatrix}, \quad T_\varepsilon = \begin{pmatrix} \varepsilon_x & \varepsilon_{xy} \\ \varepsilon_{xy} & \varepsilon_y \end{pmatrix} \quad (1)$$

(деформация ε_z равняется нулю, напряжение σ_z имеет некоторое значение, обеспечивающее условие плоской деформации).

Для (1) используем сначала ортогональный и ортонормированный базис с ортами:

$$T_1 = \frac{1}{\sqrt{2}} \begin{pmatrix} 1 & 0 \\ 0 & -1 \end{pmatrix}, \quad T_2 = \frac{1}{\sqrt{2}} \begin{pmatrix} 0 & 1 \\ 1 & 0 \end{pmatrix}, \quad T_3 = \frac{1}{\sqrt{2}} \begin{pmatrix} 1 & 0 \\ 0 & 1 \end{pmatrix}. \quad (2)$$

Под скалярным произведением тензоров здесь понимается след произведения двух матриц. Тензор T_3 имеет смысл шарового тензора, тензоры T_1, T_2 определяют девиаторное пространство. В базисе (2) тензоры T_σ, T_ε имеют следующие координаты:

$$S_1 = \frac{\sigma_x - \sigma_y}{\sqrt{2}}, \quad S_2 = \sqrt{2}\tau_{xy}, \quad S_3 = \frac{\sigma_x + \sigma_y}{\sqrt{2}}, \quad \Omega_1 = \frac{\varepsilon_x - \varepsilon_y}{\sqrt{2}}, \quad \Omega_2 = \sqrt{2}\varepsilon_{xy}, \quad \Omega_3 = \frac{\varepsilon_x + \varepsilon_y}{\sqrt{2}}. \quad (3)$$

Учитывая (3), можно говорить о векторном представлении тензоров T_σ, T_ε . При этом длину составляющей T_σ в плоскости, проходящей через орты T_1, T_2 , будем обозначать как T :

$$T^2 = \frac{(\sigma_x - \sigma_y)^2}{2} + 2\tau_{xy}^2 = 2 \left[\left(\frac{\sigma_x - \sigma_y}{2} \right)^2 + \tau_{xy}^2 \right],$$

длину составляющей T_ε в этой же плоскости — как Γ :

$$\Gamma^2 = \frac{(\varepsilon_x - \varepsilon_y)^2}{2} + 2\varepsilon_{xy}^2 = 2 \left[\left(\frac{\varepsilon_x - \varepsilon_y}{2} \right)^2 + \varepsilon_{xy}^2 \right].$$

Векторы \vec{T} и $\vec{\Gamma}$ в этой плоскости с длинами T и Γ представлены на рис. 1.

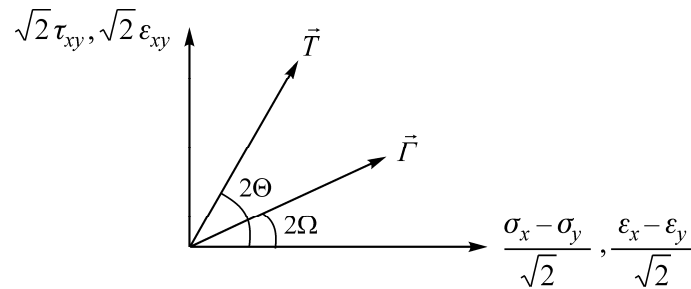


Рис. 1. Векторное представление составляющих тензоров T_σ, T_ε в плоскости, проходящей через орты T_1, T_2

Для первоначально изотропных сред при простых путях нагружения традиционно полагается $2\Theta = 2\Omega$, где $2\Theta, 2\Omega$ — полярные углы векторов $\vec{T}, \vec{\Gamma}$. Эту гипотезу будем считать справедливой для любых путей нагружения. Равенство углов означает

$$\operatorname{tg}2\Theta = \operatorname{tg}2\Omega = \frac{2\tau_{xy}}{\sigma_x - \sigma_y} = \frac{2\varepsilon_{xy}}{\varepsilon_x - \varepsilon_y}, \quad (4)$$

т. е. предполагается, что имеет место соосность тензоров напряжений и деформаций [12].

Далее определим плоскость, проходящую через векторы \vec{T} , \vec{G} и орт T_3 (рис. 2). Здесь по оси абсцисс откладываются координаты S_3 , Ω_3 , равные соответственно $\sqrt{2}\sigma$, $\sqrt{2}\varepsilon$, где σ, ε — средние напряжение и деформация: $\sigma = \frac{\sigma_x + \sigma_y}{2}$, $\varepsilon = \frac{\varepsilon_x + \varepsilon_y}{2}$; по оси ординат откладываются величины $T = \sqrt{2}\tau$, $G = \sqrt{2}\gamma$, где τ, γ — максимальные касательное напряжение и деформация сдвига соответственно.

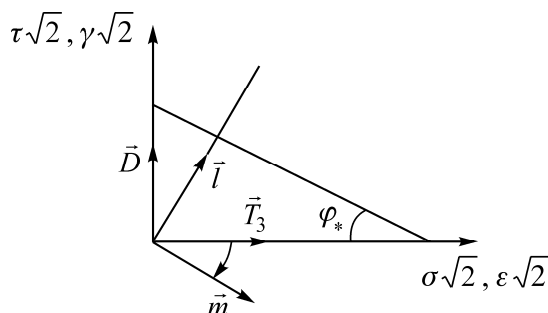


Рис. 2. Базис \vec{m}, \vec{l} , повернутый относительно “старого” базиса \vec{T}_3, \vec{D} на угол φ_*

Для металлов базис \vec{T}_3, \vec{D} (\vec{D} — единичный тензор-девиатор, направленный вдоль составляющих тензоров T_σ, T_ε в плоскости, проходящей через орты T_1, T_2) является собственным. Это означает, что значения координат тензора T_ε в этом базисе зависят только от значений одноименных координат тензора T_σ : ε зависит только от σ , γ зависит только от τ (причем не только в упругости, но и в пластичности!). Для горных пород данный базис не является собственным. Повернем базис \vec{T}_3, \vec{D} на рис. 2 на угол φ_* . В новом базисе координаты T_σ, T_ε имеют следующие представления:

$$\begin{cases} S_l = \sigma\sqrt{2} \sin \varphi_* + \tau\sqrt{2} \cos \varphi_*, \\ S_m = \sigma\sqrt{2} \cos \varphi_* - \tau\sqrt{2} \sin \varphi_*, \end{cases} \quad \begin{cases} \Omega_l = \varepsilon\sqrt{2} \sin \varphi_* + \gamma\sqrt{2} \cos \varphi_*, \\ \Omega_m = \varepsilon\sqrt{2} \cos \varphi_* - \gamma\sqrt{2} \sin \varphi_*. \end{cases} \quad (5)$$

При подходящем выборе угла φ_* получается [13–15], что диаграмма $S_m = S_m(\Omega_m)$ будет линейной (пропорциональной) при любом состоянии горной породы (упругость, пластичность, разрушение), диаграмма $S_l = S_l(\Omega_l)$ — нелинейной, но “единой” для всех программ нагружения. Отметим, что \vec{m} и \vec{l} — это, вообще говоря, не векторы, а единичные, как T_1, T_2, T_3 , тензоры (см. (2)).

В дальнейшем будет рассматриваться случай идеальной пластичности горной породы, характеризующийся следующими зависимостями:

$$|S_l| = |\sigma\sqrt{2} \sin \varphi_* + \tau\sqrt{2} \cos \varphi_*| = S_l^0, \quad (6)$$

где S_l^0 — константа материала, предел ее упругости. Кроме условия пластичности, имеем еще два уравнения:

$$\frac{\varepsilon_x + \varepsilon_y}{2} \cos \varphi_* - \sqrt{2} \sqrt{\left(\frac{\varepsilon_x - \varepsilon_y}{2}\right)^2 + \varepsilon_{xy}^2} \sin \varphi_* = \frac{1}{K} \left[\frac{\sigma_x + \sigma_y}{2} \cos \varphi_* - \sqrt{2} \sqrt{\left(\frac{\sigma_x - \sigma_y}{2}\right)^2 + \tau_{xy}^2} \sin \varphi_* \right], \quad (7)$$

$$\frac{2\varepsilon_{xy}}{\varepsilon_x - \varepsilon_y} = \frac{2\tau_{xy}}{\sigma_x - \sigma_y} = \operatorname{tg} 2\Theta. \quad (8)$$

В (7) константа материала K определяет наклон прямой $S_m = S_m(\Omega_m)$ в плоскости переменных S_m, Ω_m ; Θ — угол, задающий первое главное направление для тензоров T_σ, T_ε . Выражения (7), (8) служат для определения смещений u_x, u_y .

РАСЧЕТНАЯ СХЕМА

Рассмотрим применение соотношений (6)–(8) к решению задачи об определении максимально допустимой высоты карьера или отвала при плоской деформации. Задача здесь распадается на две — одна для отыскания напряжений и вторая — для определения смещений при известных напряжениях.

Задачу определения максимально допустимой глубины будем рассматривать как жестко-пластическую, т. е. пренебрегаем упругими деформациями. Для решения задачи имеем два уравнения равновесия:

$$\begin{cases} \frac{\partial \sigma_x}{\partial x} + \frac{\partial \tau_{xy}}{\partial y} = 0, \\ \frac{\partial \tau_{xy}}{\partial x} + \frac{\partial \sigma_y}{\partial y} + \gamma_b = 0, \end{cases} \quad (9)$$

где γ_b — плотность массовых сил. Напряжения $\sigma_x, \sigma_y, \tau_{xy}$ связаны условием (6). Как и в [12], введем переменные σ, τ, Θ по формулам:

$$\sigma_x = \sigma + \tau \cos 2\Theta, \quad \sigma_y = \sigma - \tau \cos 2\Theta, \quad \tau_{xy} = \tau \sin 2\Theta. \quad (10)$$

Из (6) следует, что

$$\tau = \tau_S - \operatorname{tg} \varphi_* \sigma, \quad (11)$$

здесь τ — максимальное касательное напряжение; σ — среднее напряжение; τ_S — константа материала, определяемая выражением

$$\tau_S = \pm \frac{\sqrt{2}}{2} S_I^0 \frac{1}{\cos \varphi_*}. \quad (12)$$

Далее подставляем (11) в (10), (10) в (9) и получаем систему дифференциальных уравнений для переменных σ и Θ , которая является гиперболической [4]. При этом характеристическое

уравнение для определения отношения $\lambda = \frac{dy}{dx}$ сводится к уравнению

$$\lambda^2 + \frac{2 \sin 2\Theta}{\operatorname{tg} \varphi_* - \cos 2\Theta} \lambda + \frac{\operatorname{tg} \varphi_* + \cos 2\Theta}{\operatorname{tg} \varphi_* - \cos 2\Theta} = 0, \quad (13)$$

корни которого

$$\lambda_{1,2} = \frac{-\sin 2\Theta \pm \sqrt{1 - \operatorname{tg}^2 \varphi_*}}{\operatorname{tg} \varphi_* - \cos 2\Theta}. \quad (14)$$

При замене

$$\operatorname{tg} \varphi_* = -\cos 2\alpha \quad (15)$$

(14) трансформируются в выражения [4]:

$$\lambda_1 = \operatorname{tg}(\Theta + \alpha), \quad \lambda_2 = \operatorname{tg}(\Theta - \alpha). \quad (16)$$

Несколько слов по поводу выбора α . Из (15) следует, что при $\operatorname{tg} \varphi_* \geq 0$ значение $\cos 2\alpha$ отрицательно, т. е. угол 2α находится в пределах $\frac{\pi}{2} + 2\pi k \leq 2\alpha \leq \frac{3\pi}{2} + 2\pi k$ или $\frac{\pi}{4} + \pi k \leq \alpha \leq \frac{3\pi}{4} + \pi k$, где $k \in Z$. Для определенности будем считать, что угол α находится в пределах $\frac{\pi}{4} \leq \alpha \leq \frac{3\pi}{4}$.

Сделаем замечание. Из (16) следует, что характеристики λ_1, λ_2 пересекаются под углом 2α .

Вычисляя соотношения на характеристиках, получаем:

для $\lambda = \lambda_1 = \operatorname{tg}(\Theta + \alpha)$

$$2\Theta + \operatorname{tg} 2\alpha \ln |\sigma \cos 2\alpha + \tau_s| + \gamma_b \int_{y_0}^y \frac{\cos(\Theta - \alpha) dy}{(\sigma \cos 2\alpha + \tau_s) \sin(\Theta + \alpha)} = \xi = \operatorname{const}, \quad (17)$$

для $\lambda = \lambda_2 = \operatorname{tg}(\Theta - \alpha)$

$$2\Theta - \operatorname{tg} 2\alpha \ln |\sigma \cos 2\alpha + \tau_s| + \gamma_b \int_{y_0}^y \frac{\cos(\Theta + \alpha) dy}{(\sigma \cos 2\alpha + \tau_s) \sin(\Theta - \alpha)} = \eta = \operatorname{const}. \quad (18)$$

Рассмотрим теперь, как связаны граничные условия задачи с функциями σ, Θ . Если обозначить через β — угол, образуемый нормалью к поверхности, то искомые формулы приобретут вид

$$\begin{cases} \sigma_n = \sigma + (\tau_s - \sigma \operatorname{tg} \varphi_*) \cos 2(\beta - \Theta), \\ \tau_{nt} = -(\tau_s - \sigma \operatorname{tg} \varphi_*) \sin 2(\beta - \Theta). \end{cases}$$

Для случая равенства касательного усилия τ_{nt} нулю $\Theta = \beta + \frac{\pi k}{2}$, где $k \in Z$ (множество целых чисел).

Обратимся теперь к задаче о потере устойчивости борта карьера. На рис. 3 эта ситуация представлена схематично.

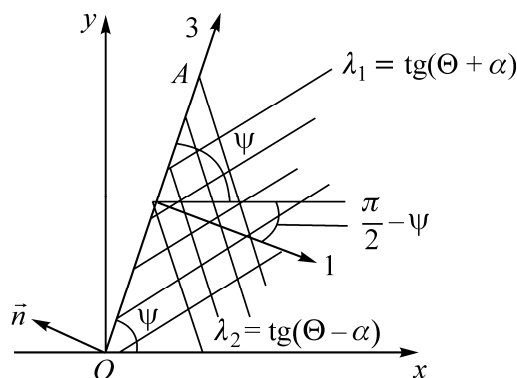


Рис. 3. Борт карьера, на котором указаны направления 1, 3 главных осей тензора напряжений и направления характеристик семейств λ_1, λ_2

Имеем борт карьера OA , наклоненный к оси абсцисс x под углом ψ , на котором вектор напряжений Коши равен нулю. Это означает, что

$$\begin{cases} -\sigma_x \sin \psi + \tau_{xy} \cos \psi = 0, \\ -\tau_{xy} \sin \psi + \sigma_y \cos \psi = 0, \end{cases}$$

потому что $\vec{n} = (-\sin \psi, \cos \psi)$.

Отсюда

$$\sigma_x = \tau_{xy} \operatorname{ctg} \psi, \quad \sigma_y = \tau_{xy} \operatorname{tg} \psi. \quad (19)$$

Эти напряжения должны удовлетворять условию (6), которое с учетом (19) переписывается в виде

$$\frac{\sqrt{2}\tau_{xy}}{\sin 2\psi} [\sin \varphi_* - \cos \varphi_*] = \pm S_l^0. \quad (20)$$

Перед S_l^0 выбираем знак “плюс”, потому что материал вблизи борта карьера находится в состоянии сжатия и, кроме того, $\operatorname{tg} \varphi_* \leq 1$, т. е. $\sin \varphi_* - \cos \varphi_* \leq 0$. Полная картина поля линий скольжения в данной задаче представлена на рис. 4.

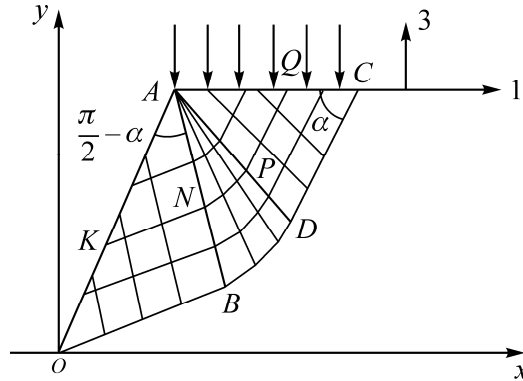


Рис. 4. Области простых напряженных состояний — треугольники OAC и ADC , сектор BAD — центрированное поле

Рассмотрим характеристику KN в треугольнике OAB . Она определяется уравнением

$$\lambda_1 = \frac{dy}{dx} = \operatorname{tg}(\Theta + \alpha), \quad (21)$$

где α связано с углом φ_* уравнением (15). В точке K , как следует из рис. 3,

$$\Theta = -\left(\frac{\pi}{2} - \psi\right) = \psi - \frac{\pi}{2},$$

поэтому значение параметра ξ вдоль (21) есть выражение

$$\xi_1 = 2\psi - \pi - \frac{\sqrt{1 - \operatorname{tg}^2 \varphi_*}}{1 - \operatorname{tg} \varphi_*} \ln\left(\frac{\tau_S}{1 - \operatorname{tg} \varphi_*}\right).$$

Здесь использованы (15), правило для выбора значения угла α , зависимости (19), (20). Кроме того, для упрощения расчетов положено $\gamma_b = 0$.

Значение параметра $\xi = \xi_1$ сохраняется постоянным вдоль всей характеристики $KNPQ$. На границе AC $\Theta = 0$, неизвестной величиной остается σ , поэтому имеем следующее уравнение для отыскания σ :

$$-\frac{\sqrt{1 - \operatorname{tg}^2 \varphi_*}}{\operatorname{tg} \varphi_*} \ln(\tau_S - \operatorname{tg} \varphi_* \sigma) = 2\psi - \pi - \frac{\sqrt{1 - \operatorname{tg} \varphi_*}}{\operatorname{tg} \varphi_*} \ln\left(\frac{\tau_S}{1 - \operatorname{tg} \varphi_*}\right). \quad (22)$$

Разрешая (22) относительно σ , получаем

$$\sigma = \frac{\tau_S}{\operatorname{tg} \varphi_*} \left[1 - \frac{1}{1 - \operatorname{tg} \varphi_*} e^{\frac{(\pi - 2\psi) \operatorname{tg} \varphi_*}{\sqrt{1 - \operatorname{tg}^2 \varphi_*}}} \right]. \quad (23)$$

Для определения σ_x , σ_y на границе AC используем условие пластичности (6), которое будет иметь вид

$$\frac{\sigma_x + \sigma_y}{2} \sin \varphi_* + \frac{\sigma_x - \sigma_y}{2} \cos \varphi_* = \frac{S_l^0}{\sqrt{2}}, \quad (24)$$

потому что $\tau_{xy} = 0$ на AC и, кроме того, $|\sigma_y| > |\sigma_x|$.

Из (23), (24) следует, что

$$\sigma_y|_{AC} = \frac{\tau_S}{\operatorname{tg} \varphi_*} \left[1 - \frac{1 + \operatorname{tg} \varphi_*}{1 - \operatorname{tg} \varphi_*} e^{\frac{(\pi - 2\psi) \operatorname{tg} \varphi_*}{\sqrt{1 - \operatorname{tg}^2 \varphi_*}}} \right]. \quad (25)$$

Для определения максимально допустимой высоты карьера, отвала найдем связь между длинами отрезков OA и AC на рис. 4. Для этого учтем, что угол между характеристиками равен 2α . Тогда в центрированном поле характеристик, с одной стороны, имеем одно семейство характеристик в виде лучей, выходящих их точки A , другое семейство связано с первым формулой

$$\frac{rd\chi}{dr} = \operatorname{tg} 2\alpha, \quad (26)$$

где χ — центральный угол в секторе BAD .

Интегрируя (26) при изменении угла χ от нуля до значения $\frac{\pi}{2} - \psi$ (угол BAD при любом значении угла φ_* среды остается равным указанному), находим $r = r_0 e^{\operatorname{ctg} 2\alpha \left(\frac{\pi}{2} - \psi \right)}$, другими словами,

$$AD = AB e^{\frac{-\operatorname{tg} \varphi_*}{\sqrt{1 - \operatorname{tg}^2 \varphi_*}} \left(\frac{\pi}{2} - \psi \right)}, \quad (27)$$

т. е. (см. рис. 4)

$$AC = \frac{2AB e^{\frac{-\operatorname{tg} \varphi_*}{\sqrt{1 - \operatorname{tg}^2 \varphi_*}} \left(\frac{\pi}{2} - \psi \right)} \sin \alpha \cos \alpha}{\sin \alpha} = OA e^{\frac{-\operatorname{tg} \varphi_*}{\sqrt{1 - \operatorname{tg}^2 \varphi_*}} \left(\frac{\pi}{2} - \psi \right)} \operatorname{ctg} \alpha. \quad (28)$$

Определим угол наклона прямой OC на рис. 5 к оси Ox . Имеем $OL = h$. Величина LC складывается из двух величин LA , AC ; $LA = h \operatorname{ctg} \psi$. Отсюда находим

$$\operatorname{ctg} \gamma = \frac{\cos \psi + e^{\frac{-\operatorname{tg} \varphi_*}{\sqrt{1 - \operatorname{tg}^2 \varphi_*}} (\pi - 2\psi)} \operatorname{ctg} \alpha}{\sin \psi}. \quad (29)$$

Из этой формулы видно, что угол γ не зависит от размеров карьера, определяется только углом наклона его борта ψ и углом φ_* — характеристикой среды. Это означает, что зная угол γ , можно, используя (29), найти φ_* при данном значении угла ψ .

Дальнейшее рассмотрение связано с введением высоты карьера OM_0 . Назовем эту высоту H . Будем считать, что потеря устойчивости борта карьера OA связана с действием веса массива пород, заключенного в область AM_1M_2C . Этот вес действует на площадку AC . Определим давление, оказываемое этим весом на данную площадку при фиксированном H . Для этого требуется найти площадь трапеции AM_1M_2C :

$$S_{AM_1M_2C} = \frac{2h \operatorname{ctg} \gamma - (H + h) \operatorname{ctg} \psi}{2} (H - h).$$

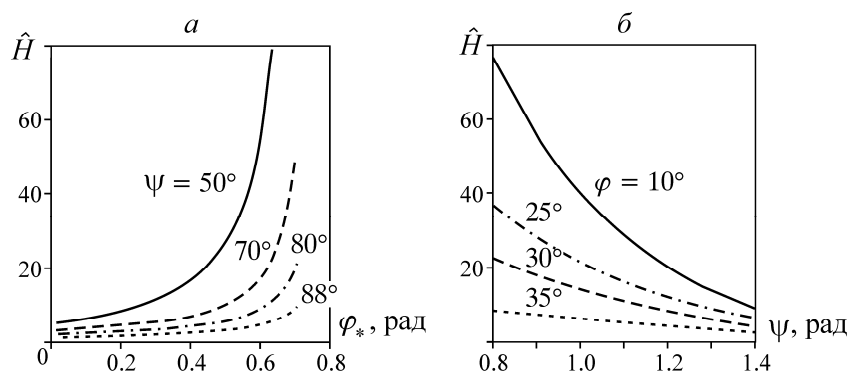


Рис. 6. Зависимости безразмерной высоты \hat{H} : *a* — от угла поворота тензорного базиса φ_* ; *b* — от угла наклона борта карьера ψ

ВЫВОДЫ

Получена формула для вычисления максимально допустимой высоты карьера в зависимости от плотности среды, угла внутреннего трения, угла наклона борта карьера, предела упругости материала. Построены кривые, отражающие эти связи. Из них следует, что при одной и той же плотности среды, пределе упругости материала высота карьера тем больше, чем больше угол внутреннего трения, и тем меньше, чем круче борт карьера. С другой стороны, при одних и тех же значениях угла внутреннего трения и угла наклона борта карьера высота увеличивается с ростом предела упругости и уменьшением плотности материала.

СПИСОК ЛИТЕРАТУРЫ

1. Фисенко Г. Л. Устойчивость бортов карьеров и отвалов. — М.: Недра, 1965.
2. Галустьян Э. Л. Управление геомеханическими процессами в карьерах. — М.: Недра, 1980.
3. Цытович Н. А. Механика грунтов. — М.: Высш. шк., 1983.
4. Соколовский В. В. Теория пластичности. — М.: Высш. шк., 1969.
5. Березанцев В. Г. Расчет оснований сооружений. — Л.: Стройиздат, 1970.
6. Караулов А. М., Королев К. В. Построение решений статики грунтов методом сопряжения областей предельного равновесия // Вестн. СГУПС. — Новосибирск, 2002. — Вып. 4.
7. Гениев Г. А., Эстерин М. И. Динамика пластической и сыпучей сред. — М.: Стройиздат, 1972.
8. Соловьев Ю. И. Несущая способность предельно напряженного основания под ленточным фундаментом // Основания, фундаменты и механика грунтов. — 1979. — № 4.
9. Цветков В. К. Исследование устойчивости откосов и склонов с помощью метода конечных элементов // Приложение численных методов к задачам геомеханики: межвуз. сб. науч. тр. — М.: МИСИ, 1986.
10. Зубков В. В., Зубкова И. А., Сидоров В. С. Оценка и прогноз геомеханического состояния массива горных пород // Уголь. — 1994. — № 7.
11. Ухов С. Б. Расчет сооружений и оснований методом конечных элементов: учеб. пособие. — М.: Энергия, 1973.
12. Качанов Л. М. Основы теории пластичности. — М.: Наука, 1969.
13. Чанышев А. И. О соотношениях упругости для горных пород. Деформационная теория пластичности // ФТПРПИ. — 1986. — № 1.
14. Чанышев А. И. Построение паспортных зависимостей горных пород в допредельной и запредельной областях деформирования // ФТПРПИ. — 2002. — № 5.
15. Чанышев А. И., Абдулин И. М. Деформирование и разрушение первоначально изотропных сред с условием нарушения прочности Мизеса // ФТПРПИ. — 2006. — № 4.

Поступила в редакцию 1/IV 2015